

Fig. 31-II Modelo DHI/MIKE21-BW

Batimetria – Solução 2

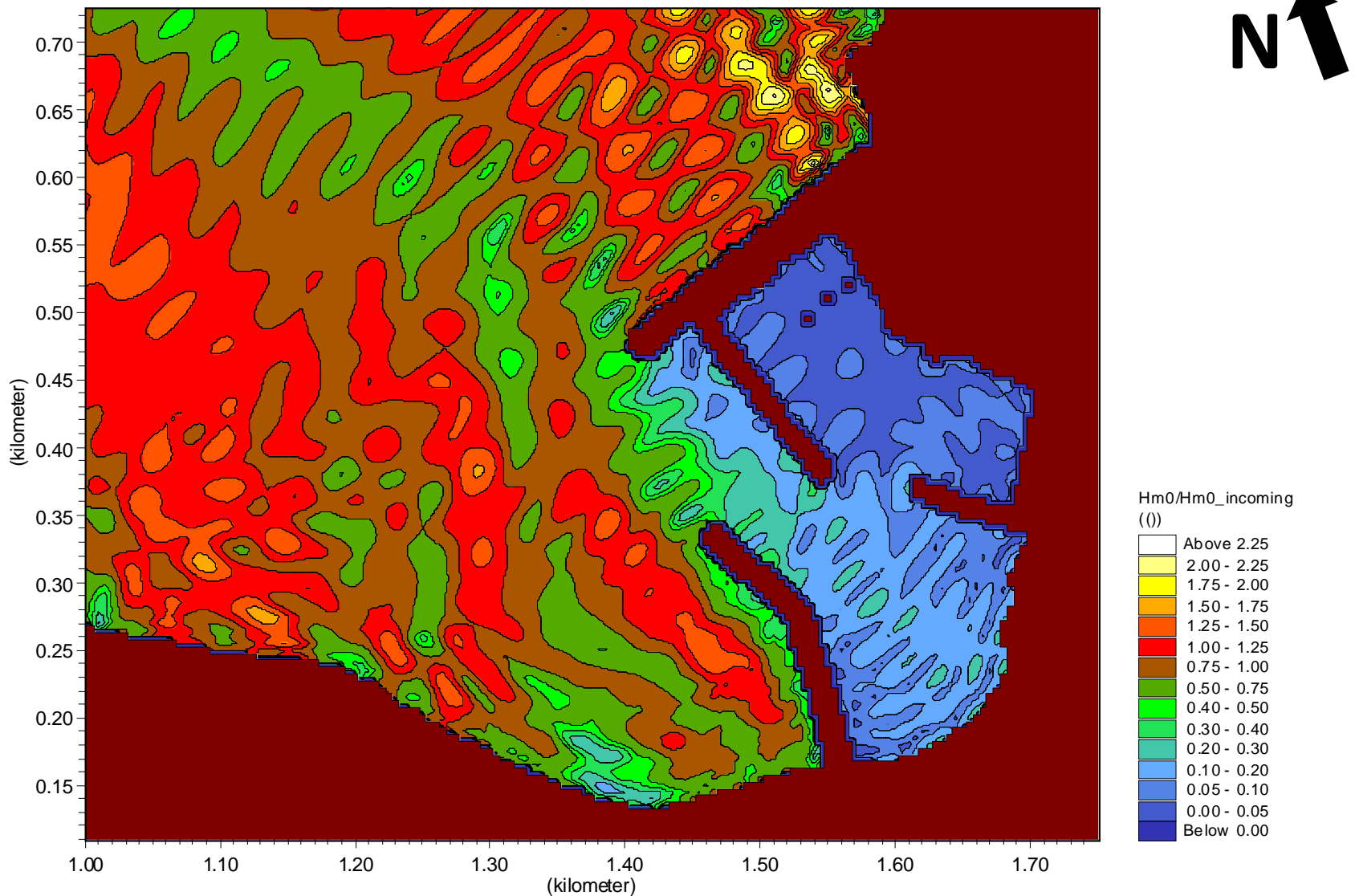


Fig. 32-II Modelo DHI/MIKE21-BW

Índice de Agitação no Porto de Pesca de Rabo de Peixe – Solução 2

Condição de fronteira H=1m; T=8s, Rumo=N30W; Hmaré=1m, Malha 5x5m

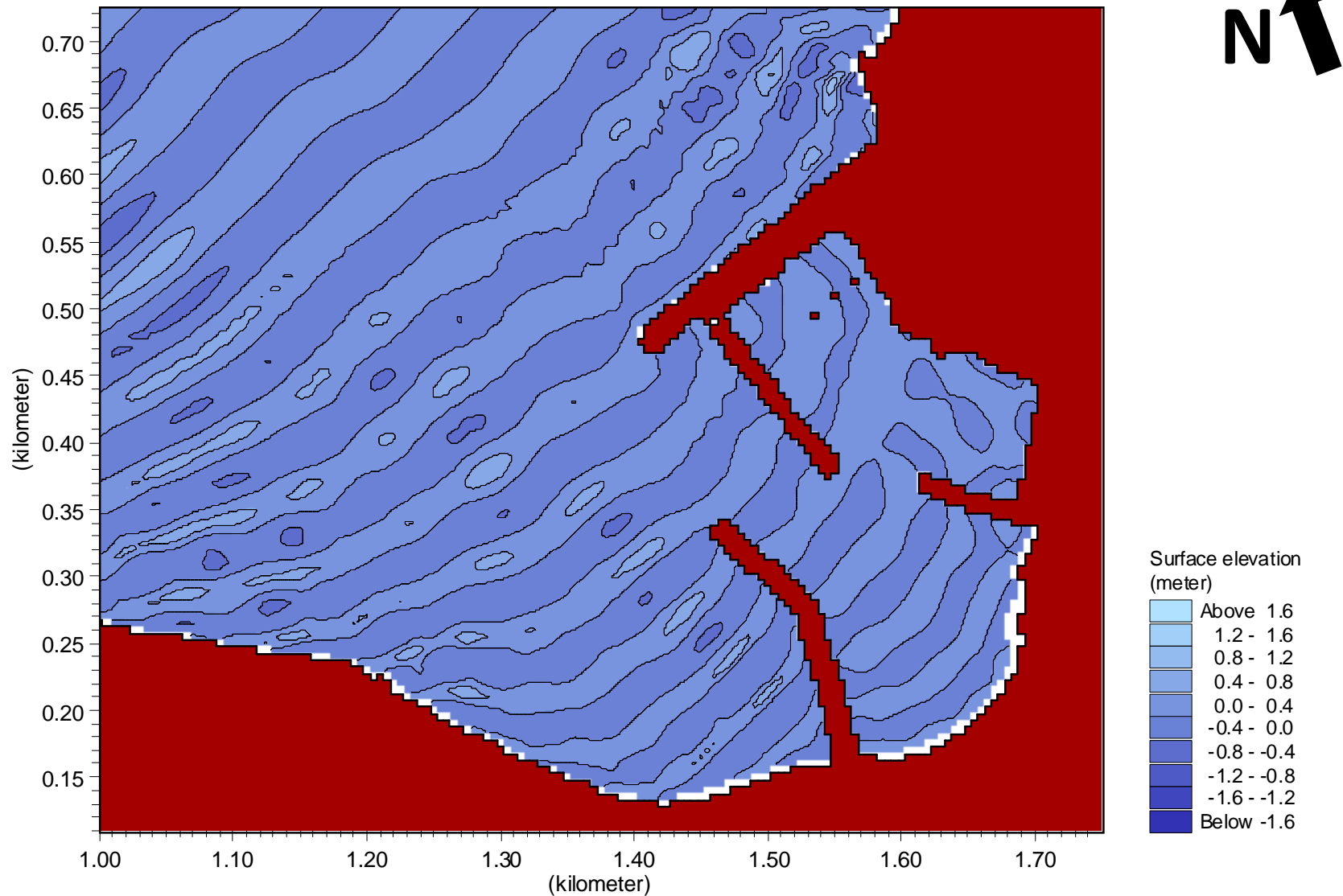


Fig. 33-II Modelo DHI/MIKE21-BW

Sobreelevação da Superfície Livre no Porto de Pesca de Rabo de Peixe – Solução 2

Condição de fronteira $H=1\text{m}$; $T=8\text{s}$, Rumo= $N30W$; $H_{\text{maré}}=1\text{m}$, Malha $5\text{x}5\text{m}$

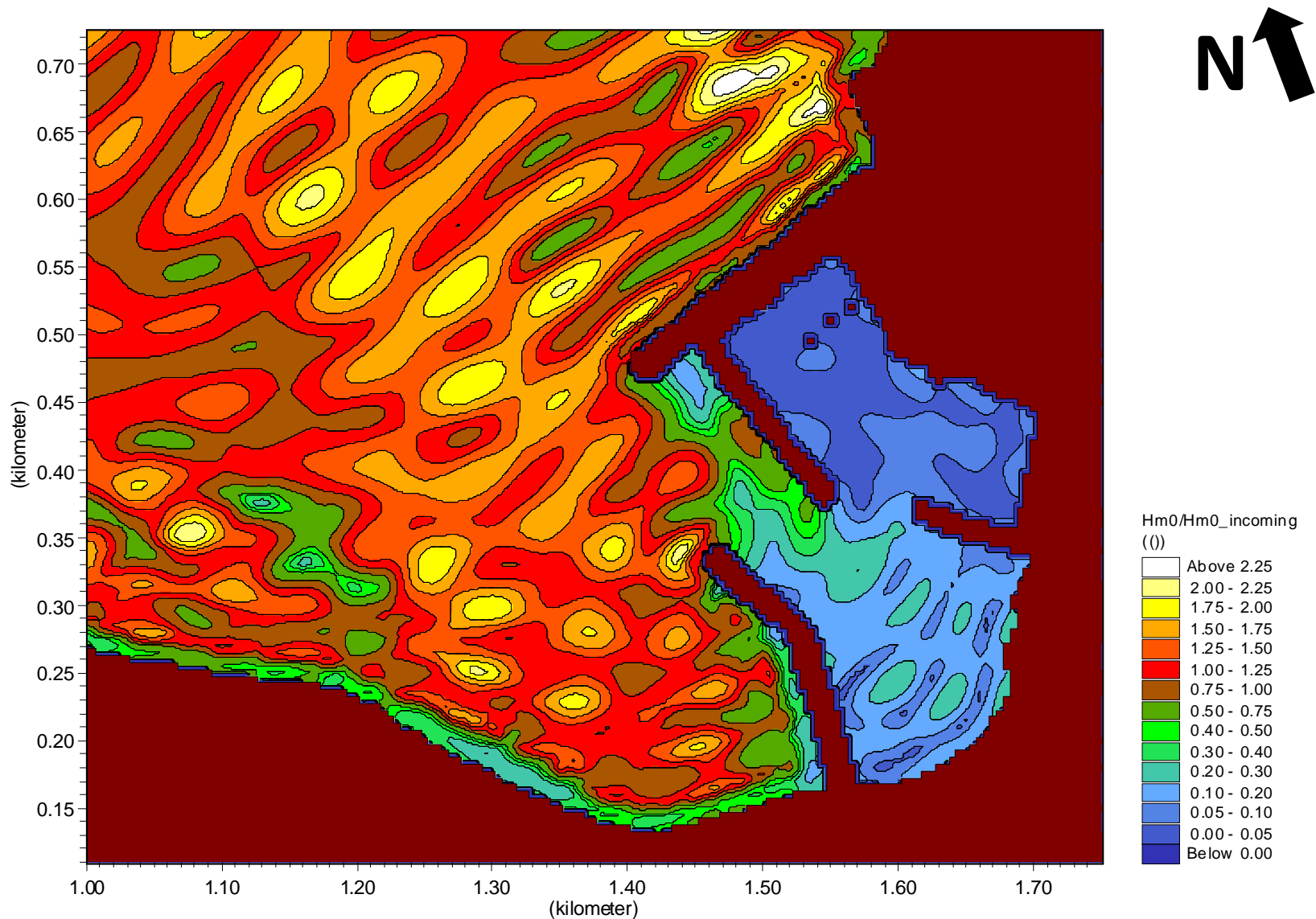


Fig. 34-II Modelo DHI/MIKE21-BW

Índice de Agitação no Porto de Pesca de Rabo de Peixe – Solução 2

Condição de fronteira H=1m; T=12s, Rumo=N30W; Hmaré=1m, Malha 5x5m

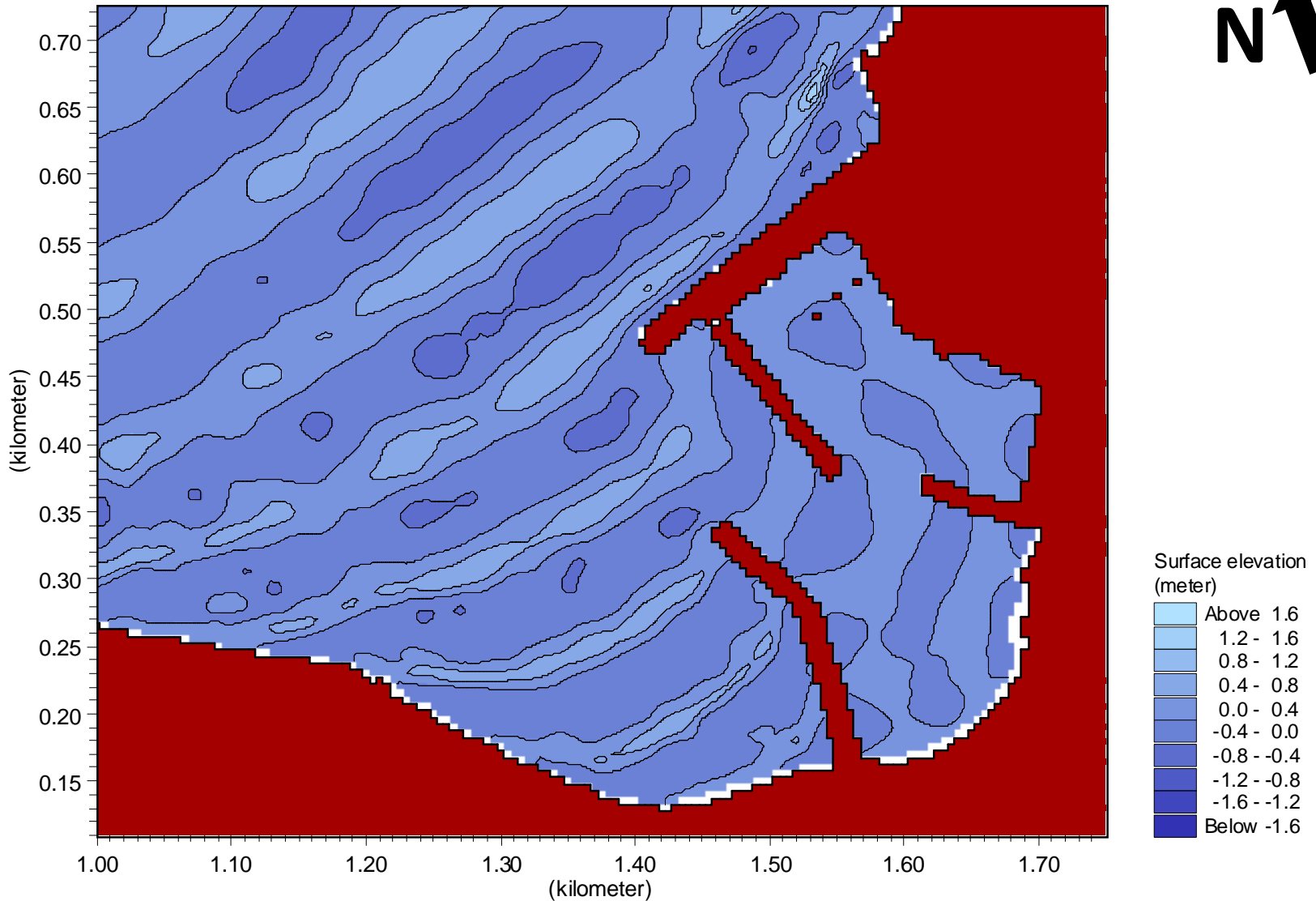


Fig. 35-II Modelo DHI/MIKE21-BW

Sobreelevação da Superfície Livre no Porto de Pesca de Rabo de Peixe – Solução 2

Condição de fronteira $H=1\text{m}$; $T=12\text{s}$, Rumo= $N30W$; $H_{\text{maré}}=1\text{m}$, Malha $5 \times 5\text{m}$

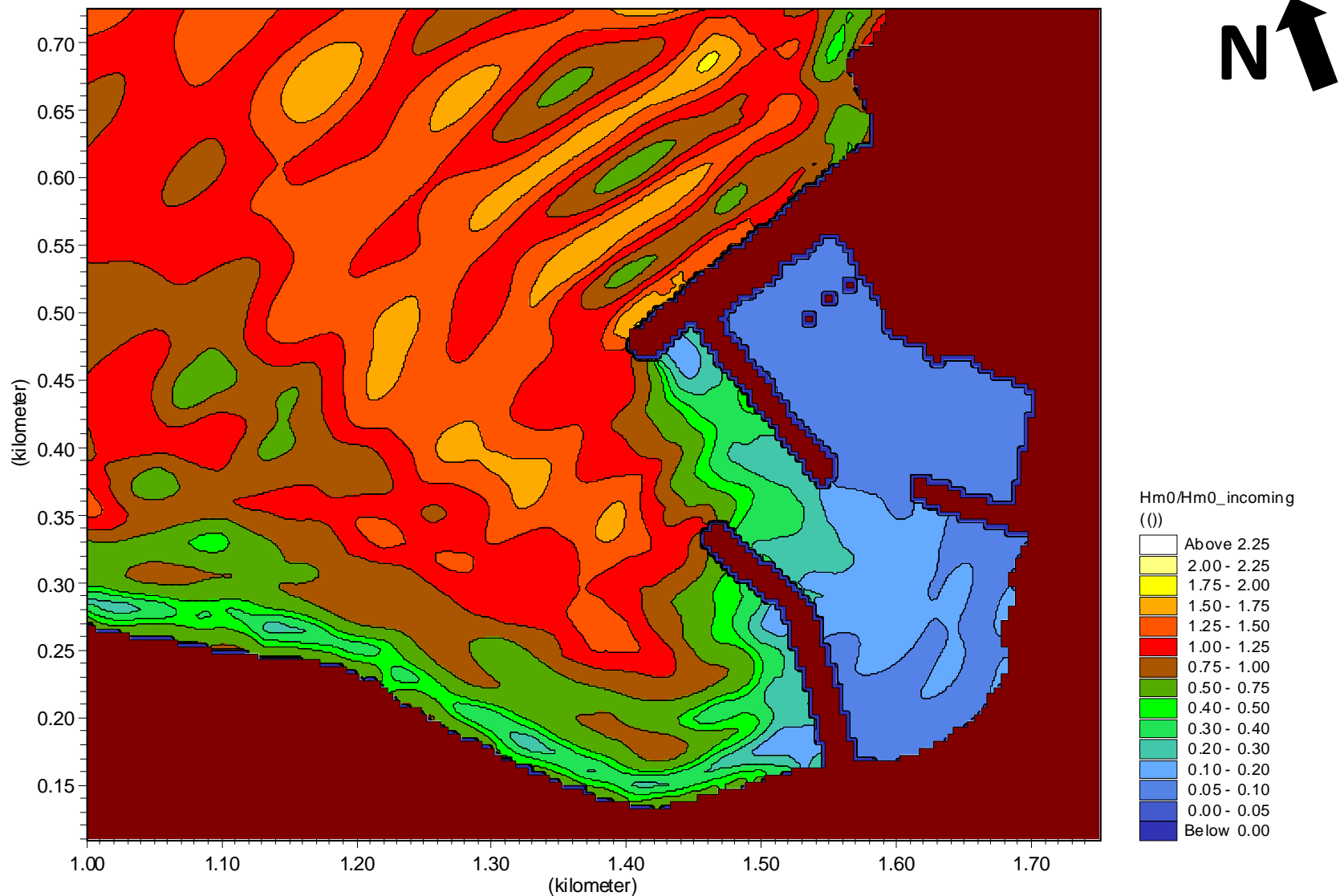


Fig. 36-II Modelo DHI/MIKE21-BW com rebentação
 Índice de Agitação no Porto de Pesca de Rabo de Peixe – Solução 2
 Condição de fronteira $H=3\text{m}$; $T=14\text{s}$, Rumo= $N30W$; $H_{maré}=1\text{m}$, Malha $5 \times 5\text{m}$

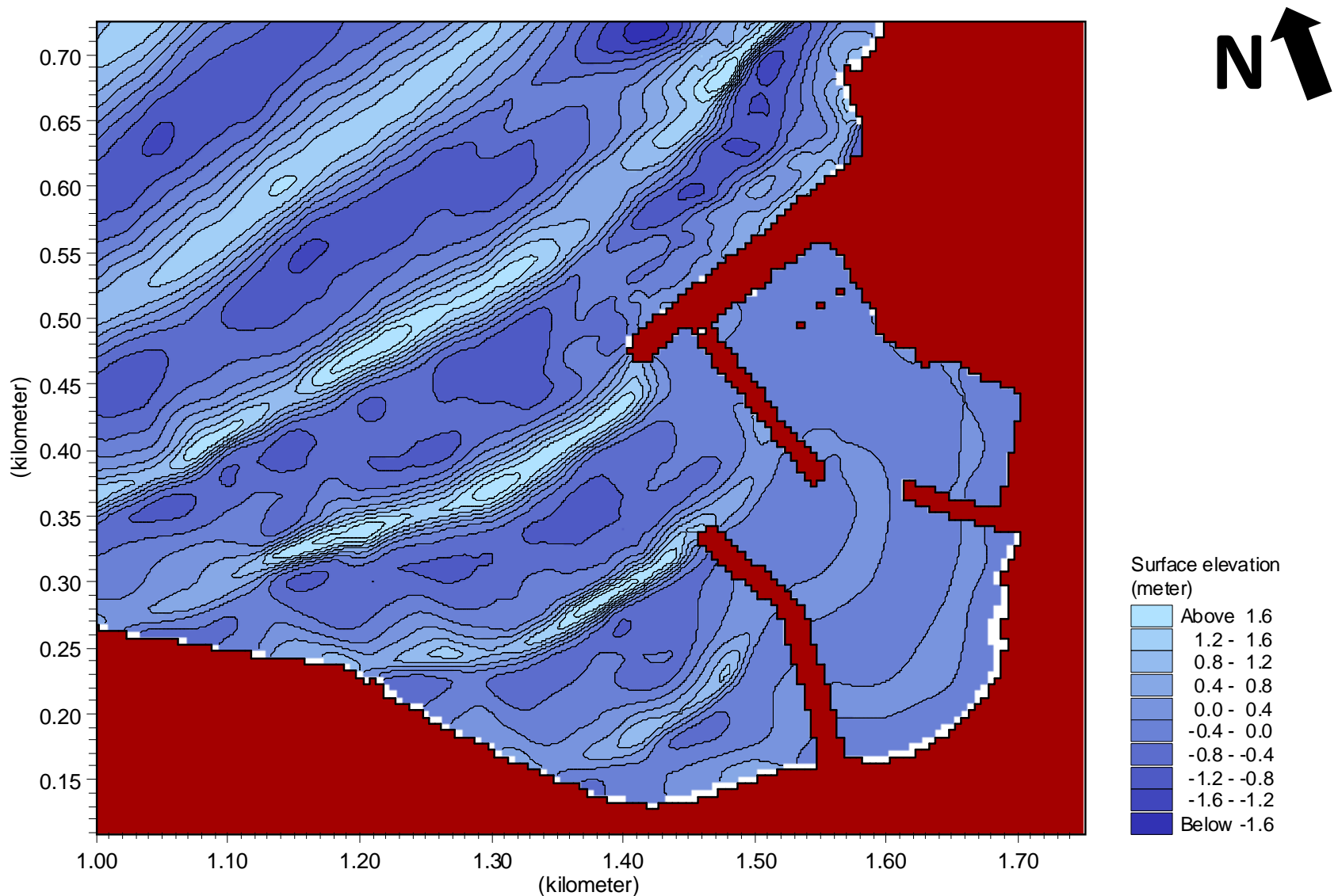


Fig. 37-II Modelo DHI/MIKE21-BW com rebentação
 Sobreelevação da Superfície Livre no Porto de Pesca de Rabo de Peixe – Solução 2
 Condição de fronteira $H=3\text{m}$; $T=14\text{s}$, Rumo= $N30W$; $H_{\text{maré}}=1\text{m}$, Malha $5 \times 5\text{m}$

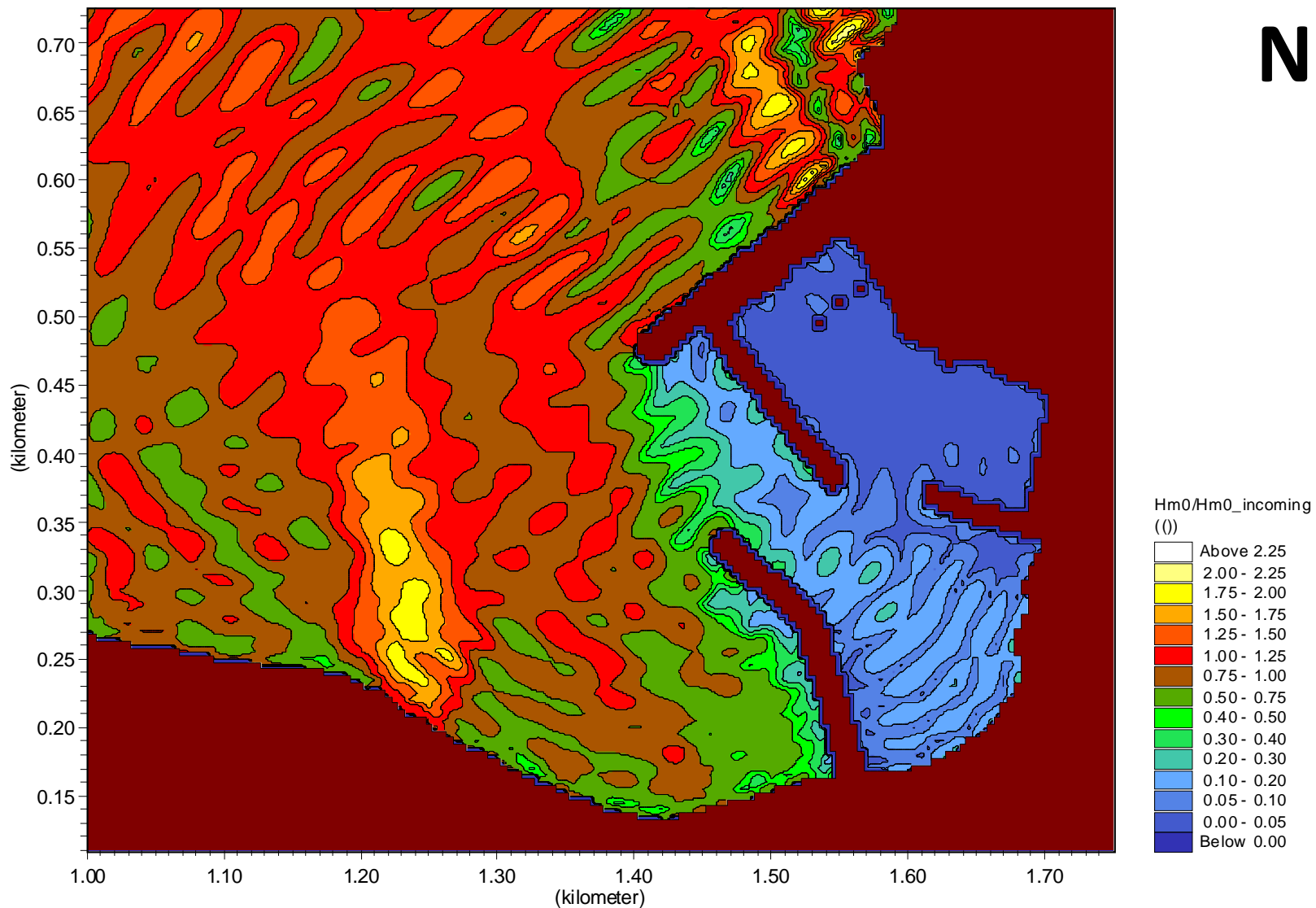


Fig. 38-II Modelo DHI/MIKE21-BW

Índice de Agitação no Porto de Pesca de Rabo de Peixe – Solução 2

Condição de fronteira $H=1m$; $T=8s$, Rumo=N; $H_{maré}=1m$, Malha 5x5m

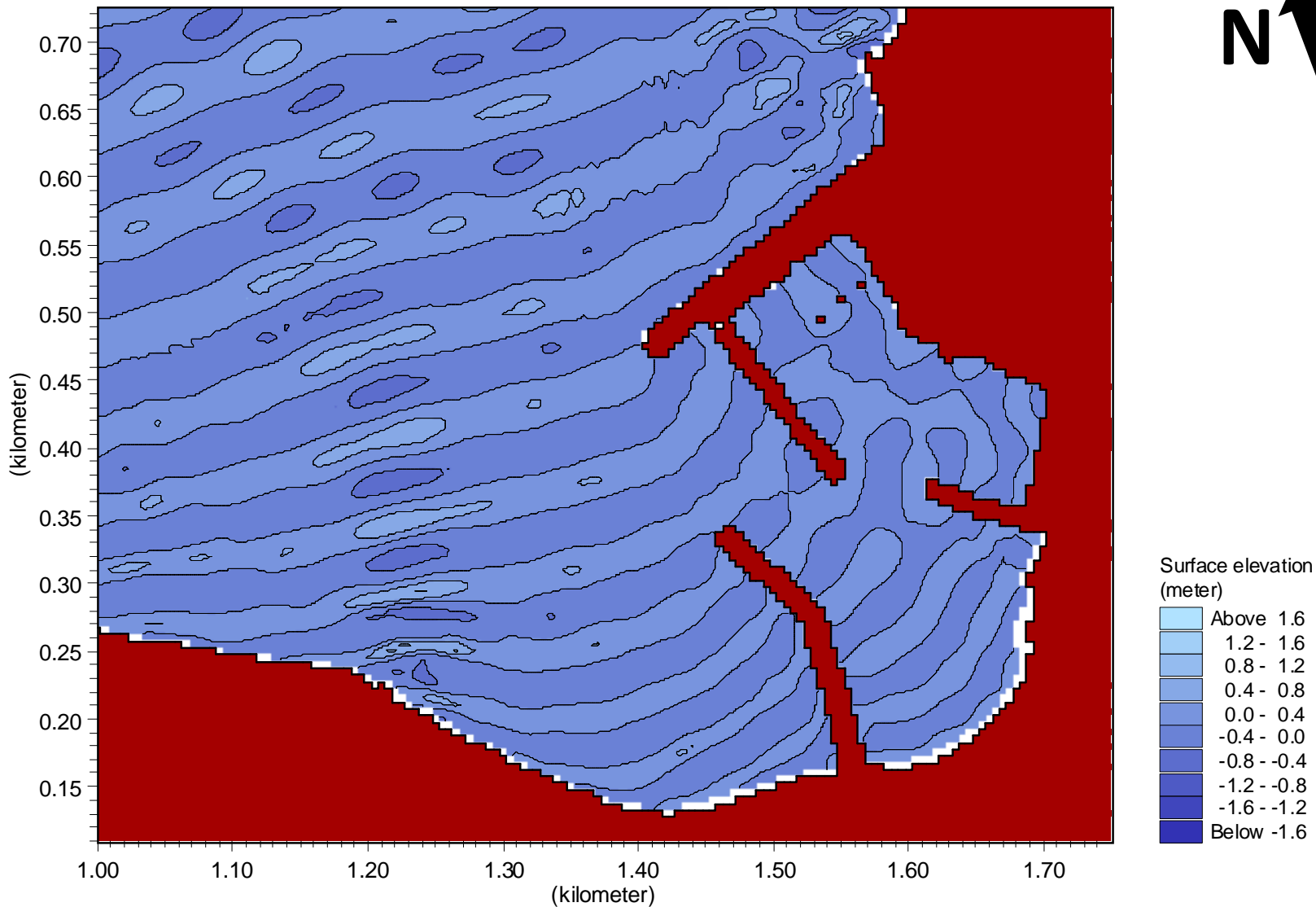


Fig. 39-II Modelo DHI/MIKE21-BW

Sobreelevação da Superfície Livre no Porto de Pesca de Rabo de Peixe – Solução 2

Condição de fronteira $H=1\text{m}$; $T=8\text{s}$, Rumo=N; $H_{\text{maré}}=1\text{m}$, Malha $5\text{m} \times 5\text{m}$

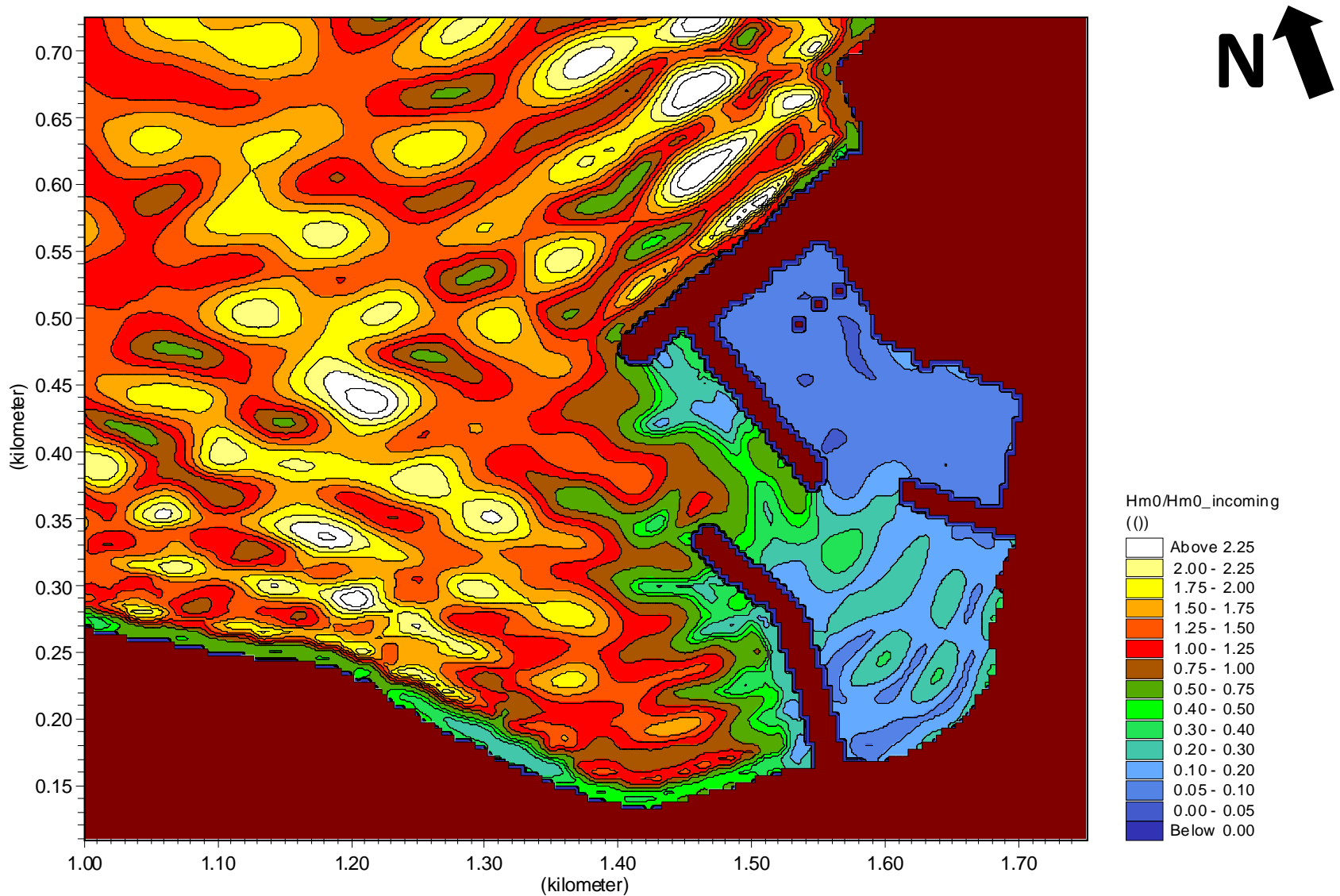


Fig. 40-II Modelo DHI/MIKE21-BW

Índice de Agitação no Porto de Pesca de Rabo de Peixe – Solução 2

Condição de fronteira $H=1m$; $T=12s$, Rumo=N; $H_{maré}=1m$, Malha 5x5m

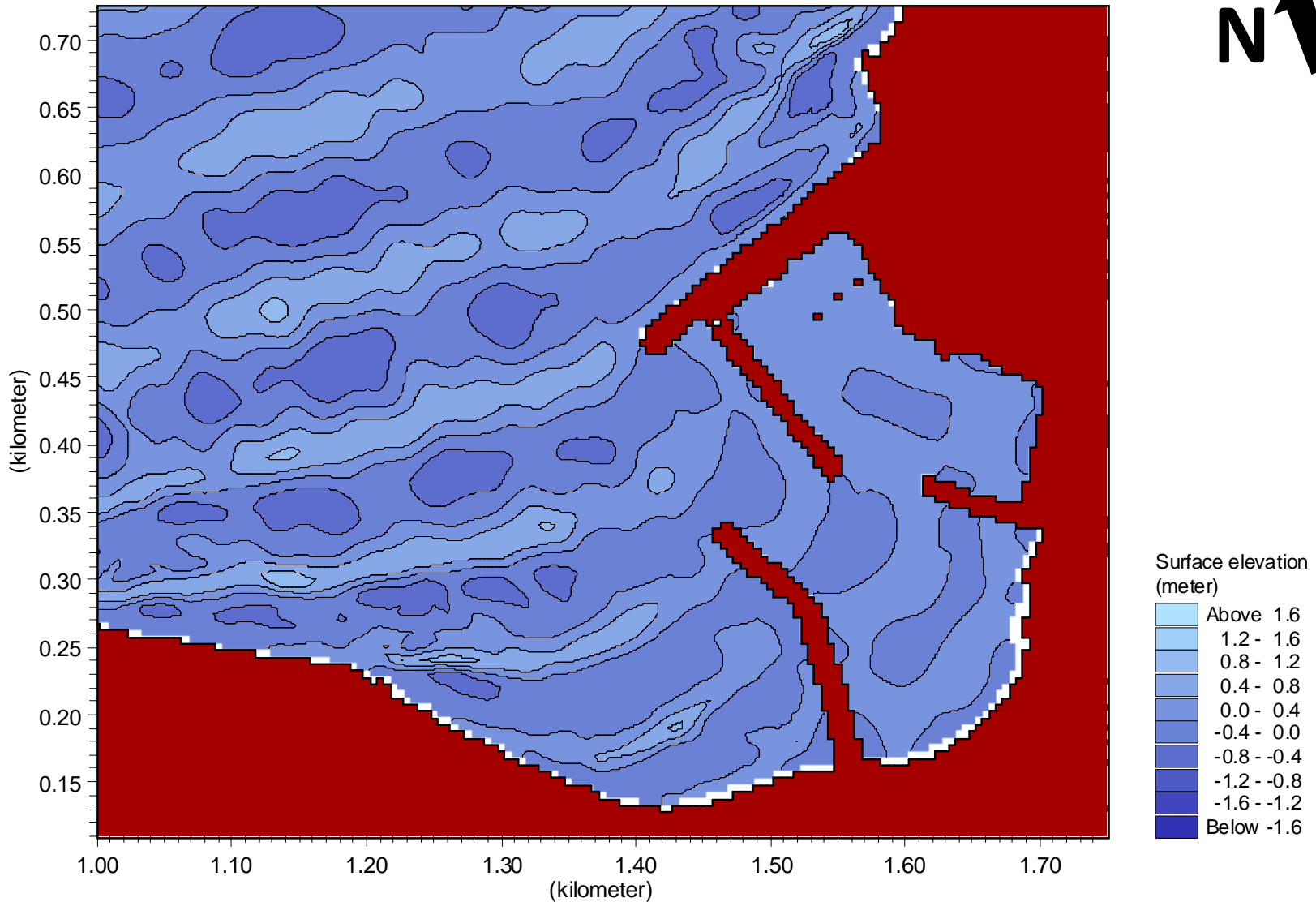


Fig. 41-II Modelo DHI/MIKE21-BW

Sobreelevação da Superfície Livre no Porto de Pesca de Rabo de Peixe – Solução 2

Condição de fronteira $H=1\text{m}$; $T=12\text{s}$, Rumo=N; $H_{\text{maré}}=1\text{m}$, Malha 5x5m

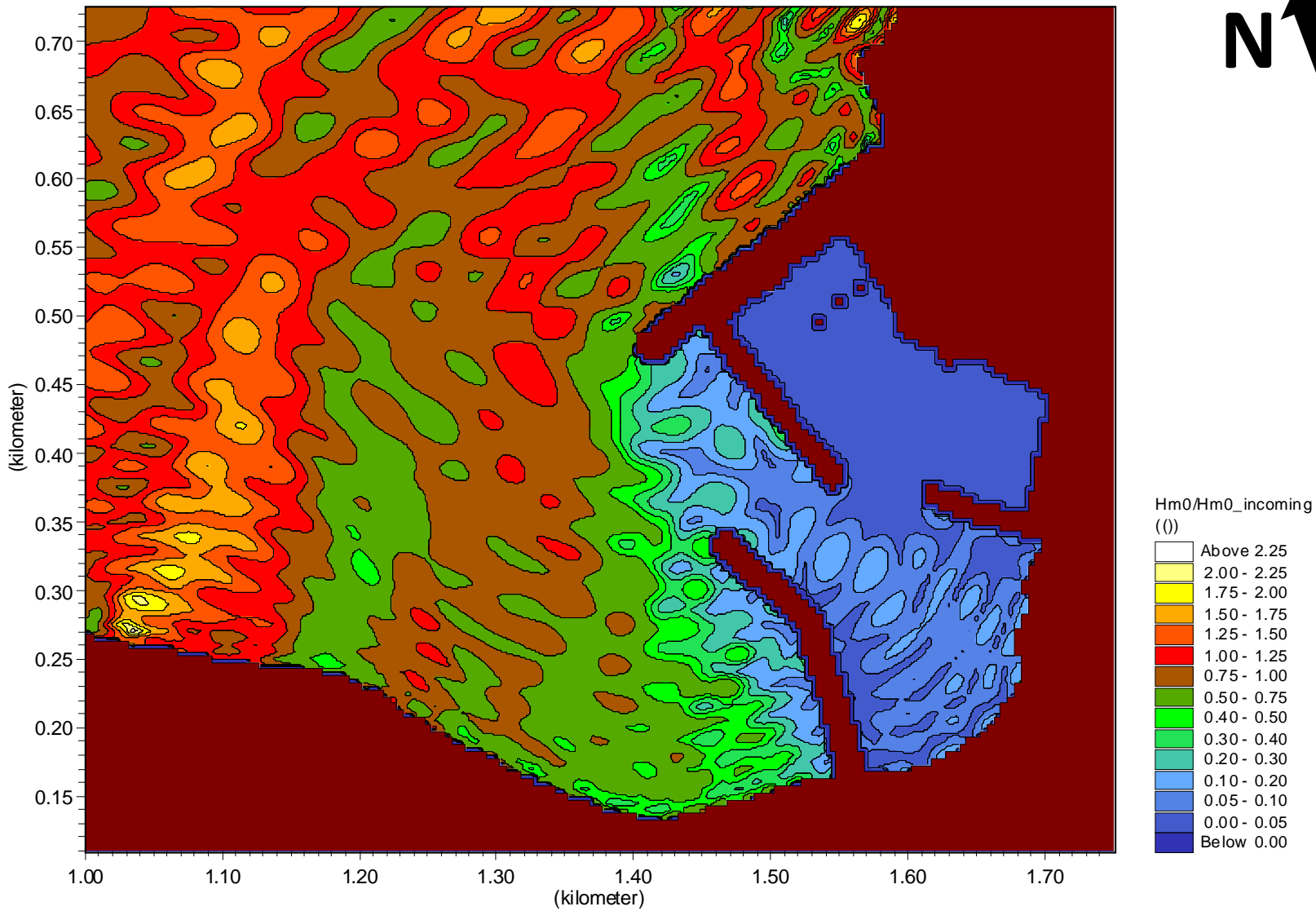


Fig. 42-II Modelo DHI/MIKE21-BW

Índice de Agitação no Porto de Pesca de Rabo de Peixe – Solução 2

Condição de fronteira H=1m; T=8s, Rumo=N30E; Hmaré=1m, Malha 5x5m

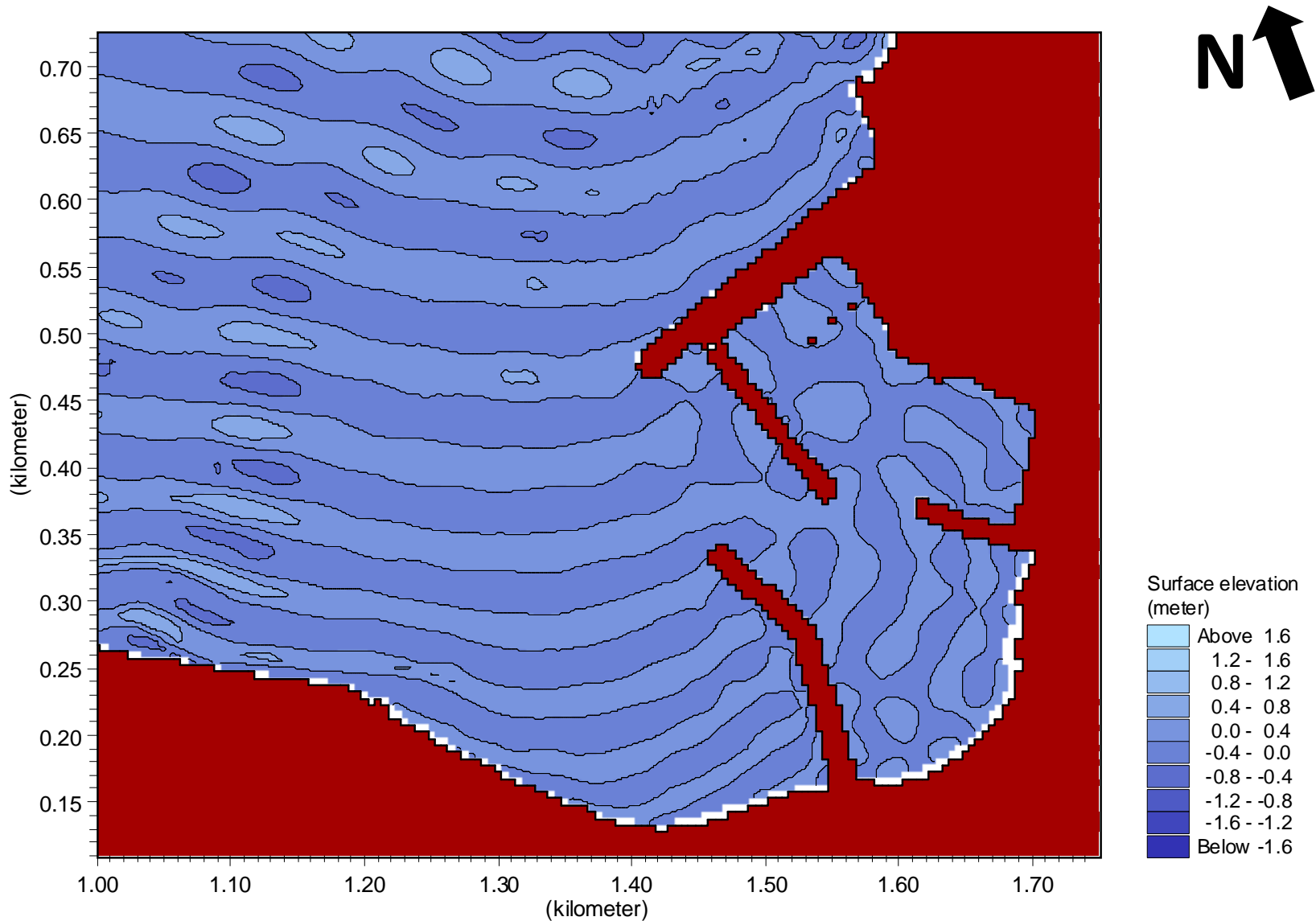


Fig. 43-II Modelo DHI/MIKE21-BW

Sobreelevação da Superfície Livre no Porto de Pesca de Rabo de Peixe – Solução 2

Condição de fronteira $H=1\text{m}$; $T=8\text{s}$, Rumo= $N30E$; $H_{\text{maré}}=1\text{m}$, Malha $5 \times 5\text{m}$

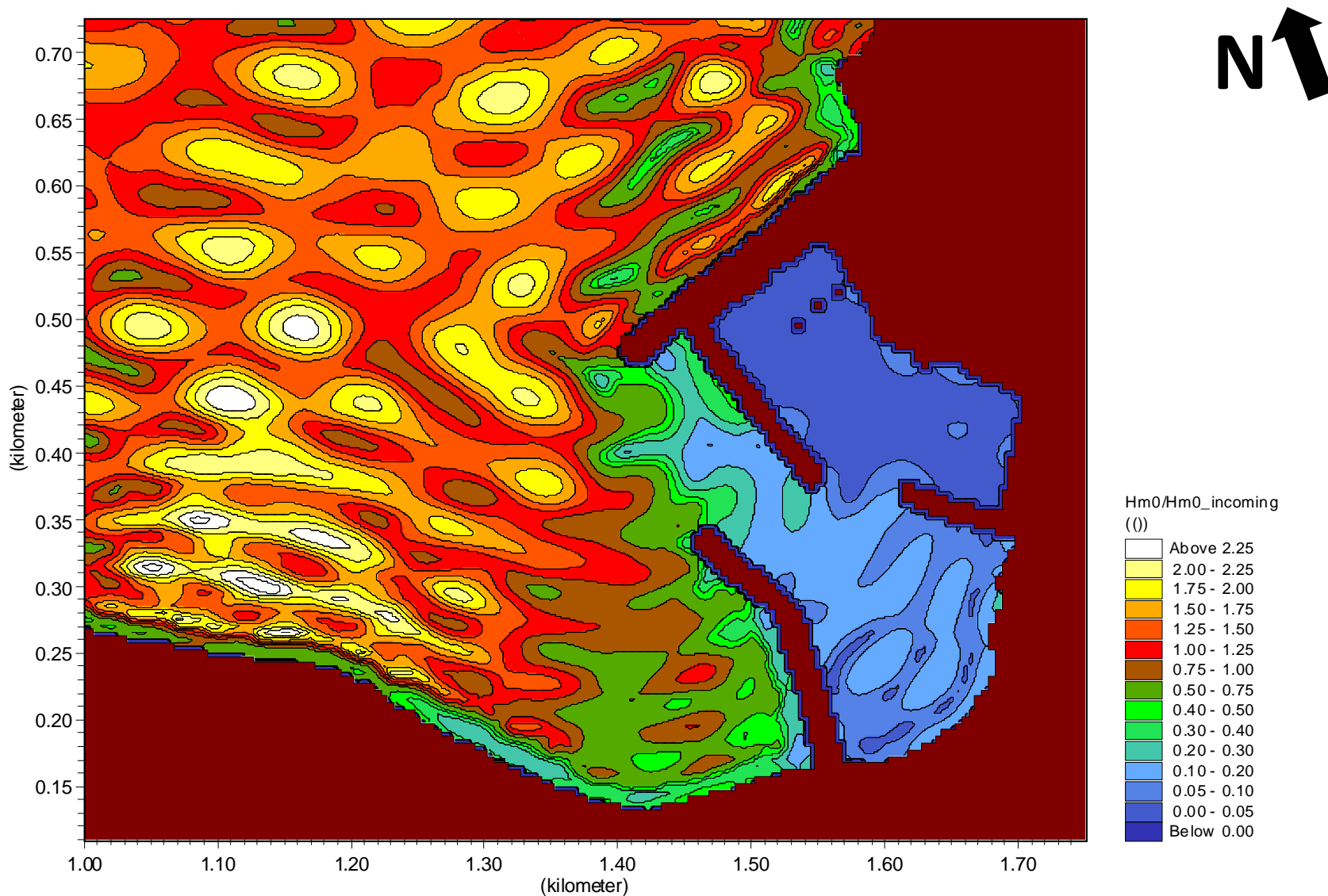


Fig. 44-II Modelo DHI/MIKE21-BW

Índice de Agitação no Porto de Pesca de Rabo de Peixe – Solução 2

Condição de fronteira $H=1\text{m}$; $T=12\text{s}$, Rumo= $N30E$; $H_{\text{maré}}=1\text{m}$, Malha $5\text{x}5\text{m}$

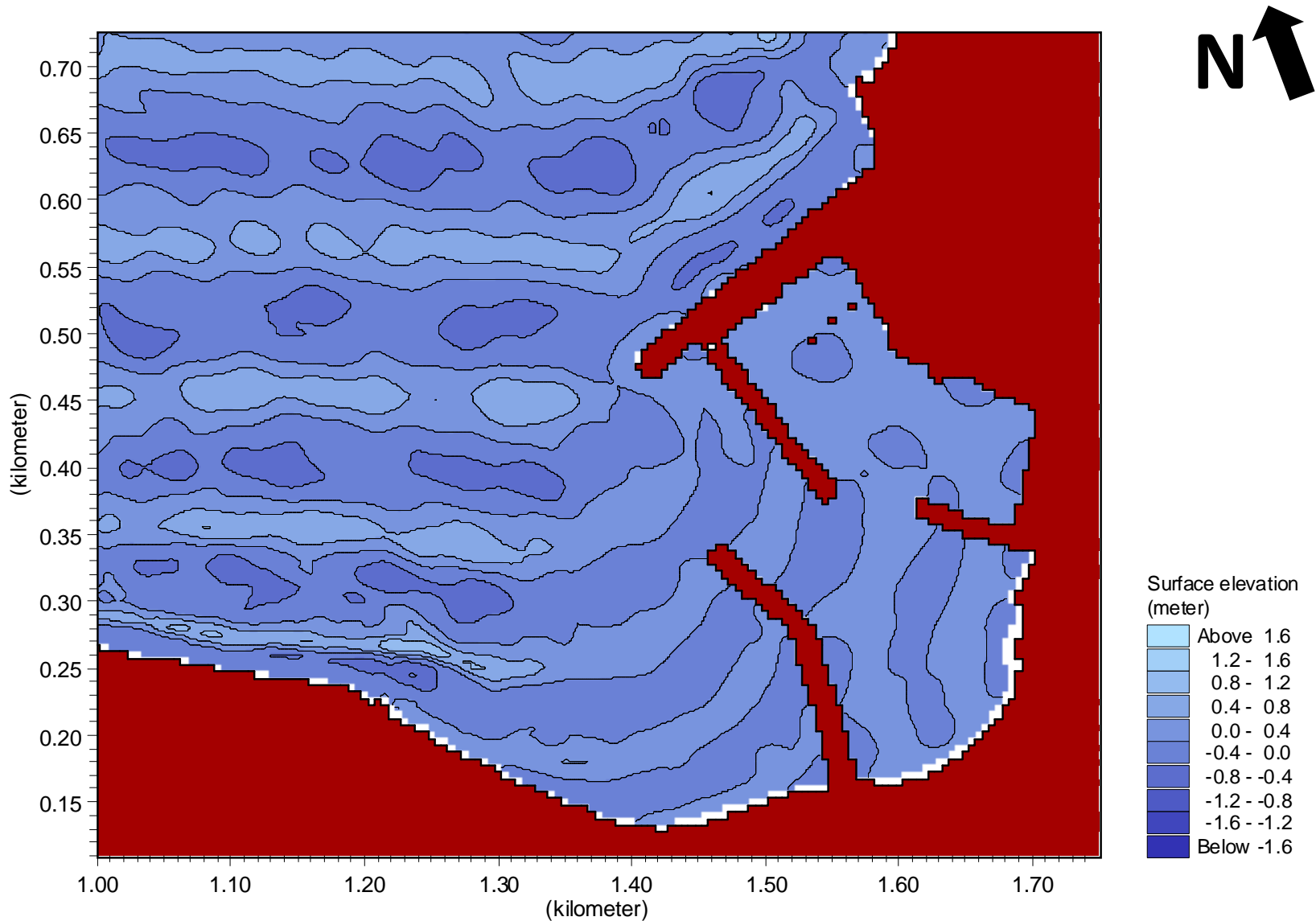


Fig. 45-II Modelo DHI/MIKE21-BW

Sobreelevação da Superfície Livre no Porto de Pesca de Rabo de Peixe – Solução 2

Condição de fronteira $H=1\text{m}$; $T=12\text{s}$, Rumo= $N30E$; $H_{\text{maré}}=1\text{m}$, Malha $5\times 5\text{m}$